

## سنتز پوشش سیلیسی آبگریز بر روی شیشه به روش سل-ژل و بررسی تاثیر اکسید نقره بر روی تغییرات ترشوندگی آن

لیلا شمس سولاری<sup>۱\*</sup>، احمد منشی<sup>۲</sup> و حمید غیور<sup>۳</sup>

<sup>۱</sup> دانشجوی کارشناسی ارشد، دانشکده مهندسی مواد، دانشگاه آزاد اسلامی، واحد نجف آباد

استاد، دانشکده مهندسی مواد، دانشگاه آزاد اسلامی، واحد نجف آباد

آستادیار، دانشکده مهندسی مواد، دانشگاه آزاد اسلامی، واحد نجف آباد

تاریخ ثبت اولیه: ۹۲/۶/۲، تاریخ دریافت نسخه اصلاح شده: ۹۲/۹/۶، تاریخ پذیرش قطعی: ۹۲/۹/۱۱

**چکیده** رفتار ترشوندگی سطوح جامد یک مساله اساسی در علم و مهندسی و هم در زندگی روزمره به شمار می رود. علاوه بر این کنترل قابلیت ترشوندگی مواد حالت جامد یک مساله اساسی در مهندسی سطح می باشد. سطوح آبگریز با زاویه تماس بالاتر از  $90^\circ$  به دلیل خواص خود تمیز شونده علاقه زیادی را هم در علم و صنعت ایجاد کرده است. در تحقیق حاضر، با استفاده از روش سل-ژل پوشش سیلیسی آبگریز شفاف با پایه تترا اتوکسی سیلان (TEOS) بر روی زیر لایه شیشه ایجاد شد و پوشش دهی با استفاده از روش غوطه وری انجام گرفت. برای تهیه سل از TEOS، اتانول، PTES و هیدروکسید آمونیوم استفاده شد. تاثیر موادی نظیر اکسید نقره بر روی آبگریزی پوشش ایجاد شده مورد بررسی قرار گرفت. ارزیابی پوشش ایجاد شده با استفاده از میکروسکوپ الکترونی روبشی (SEM)، پراش اشعه ایکس (XRD)، طیف سنجی مادون قرمز فوریه (FTIR)، اندازه گیری زاویه تماس (CA) و میکروسکوپ نیروی اتمی (AFM) انجام گرفت. نتایج نشان داد که در نسبت  $PTES/TEOS=1$  آبگریزی مناسبی در نمونه پوشش داده شده بدون اکسید نقره نسبت به نمونه دارای اکسید نقره می باشد و زاویه تماس برابر با  $124^\circ$  به دست آمد.

**کلمات کلیدی:** زاویه تماس، سطوح آبگریز، ترشوندگی، سل-ژل.

## Synthesis of Hydrophobic Silica Coatings on Glass by Sol-Gel and Studying Silver Oxide Effect on the Wettability

Leila Shams Solaree<sup>\*1</sup>, Ahmad Monshi<sup>2</sup>, Hamid Ghayour<sup>3</sup>

<sup>1</sup> Ms.C, Department of Material Engineering, Najafabad Branch, Islamic Azad University, Isfahan, Iran

<sup>2</sup> Associate Professor, Department of Materials Engineering, Isfahan University, Isfahan, Iran

<sup>3</sup> Assistant Professor, Najafabad Branch, Islamic Azad University, Isfahan, Iran

**Abstract** Wetting behavior of solid surfaces is a key Factor in our daily life as well as in engineering and science. In addition, Control on the wettability of solid state materials is important in surface engineering. Hydrophobic surfaces with water contact angle higher than  $90^\circ$  generated a lot of interest both in academia and in industry because of the self-cleaning properties. In present study, TEOS based hydrophobic, self-cleaning silica coatings on a glass substrate by sol-gel process was prepared. The coating sol was prepared by simple dip coating method. The coating alcocol was prepared by keeping the molar ratio of tetraethoxysilane (TEOS), Phenyltriethoxysilan (PTES), ethanol and ammonium hydroxide ( $NH_4OH$ ) constant. The effect of materials such as, silver oxide on hydrophobicity was studied. The films were characterized by scanning electron microscopy (SEM), X-ray powder diffractometry (XRD), Fourier transform infrared spectroscopy (FTIR), water contact angle (CA) and Atomic force Microscopy (AFM) measurements. The results showed that good hydrophobicity is obtained with  $PTES/TEOS=1$  without silver oxide Relative to the sample with silver oxide and the contact angle was  $124^\circ$ .

**Keywords:** Contact angle, Surface hydrophobic, Wetting, Sol-Gel.

## ۱- مقدمه

امروزه مواد خود تمیز شونده به طور گسترده در زندگی و صنعت مورد استفاده قرار می‌گیرند. از جمله این کاربردها می‌توان به سطوح خود تمیز شونده، وسایل مرتبط به آزمایشگاه، پوشش‌های با اصطکاک کم، شیشه‌های اتومبیل و ... اشاره کرد [۱و۲].

اخیراً، شیشه‌های ساختمان علاوه بر این که نور اتاق را می‌بایست تامین کنند، کاربردهای دیگری نیز می‌توانند داشته باشند، به عنوان نمونه نقش‌هایی مانند ایمنی، حفاظت، مقاومت در برابر آتش و ... دارند. همچنین شیشه‌هایی می‌خواهیم که به آسانی کثیف نشوند، چسبیدن کثیفی به شیشه شفافیت آن را کاهش می‌دهد و به طور چشم گیری دید را کاهش می‌دهد [۳].

خاصیت خود تمیز شوندگی از نیلوفر آبی مقدس الهام گرفته شده است [۴]. در واقع وقتی قطرات آب روی سطح برگ نیلوفر آبی می‌نشینند، شکل تقریباً کروی می‌سازند و فوراً می‌غلطند و ذرات گرد و غبار و آلودگی‌های سطحی را از بین می‌برند [۲]. سطوح آبریز به واسطه خاصیتی که دارند باعث می‌شوند که قطرات آب یا حتی روغن به راحتی بر روی سطح آن‌ها بلغزند و هرگونه آلودگی را از روی سطح پاک کنند. علاقه زیاد محققین در این زمینه باعث شد که روش‌های ساده-تر و مقرون به صرفه‌تر برای ایجاد سطوح با زاویه تماس بالا ارائه گردد. به منظور بهبود خاصیت آبریزی و خیس نشدن سطوح، از سطوح ناهموار و زبر استفاده می‌شود [۵].

بیشتر روش‌هایی که برای ایجاد سطوح آبریز توسط زبرکردن مواد با انرژی سطحی پایین به کار می‌رود، اغلب به صورت یک مرحله‌ای بوده و از مزایای آن می‌توان به سادگی آن و از معایب آن می‌توان به محدود بودن آن‌ها به مجموعه‌ای کوچک از مواد اشاره کرد. از جمله روش‌هایی که برای ایجاد سطوح زبر به کار می‌رود می‌توان به کشش مکانیکی<sup>۱</sup>، اچ کردن با لیزر/ پلاسما/ شیمیایی<sup>۲</sup>، لایه به لایه<sup>۳</sup>، سل-ژل<sup>۴</sup>، رسوب بخار شیمیایی<sup>۵</sup> و لیتوگرافی<sup>۶</sup> اشاره کرد [۶].

از جمله روش‌های تولید سطوح آبریز می‌توان به فرآیند سل-ژل اشاره کرد. مزایای زیادی برای استفاده از پوشش‌های سل-ژل وجود دارد که از آن جمله می‌توان به دمای پایین فرایند و استفاده از پیش ماده‌های مایع اشاره کرد که به ترتیب منجر به کاهش تبخیر حرارتی و تجزیه اجزای جذب شده از قبیل بازدارنده‌های آلی و امکان پوشش دهی اشکال پیچیده و تولید فیلم‌های نازک بدون نیاز به ماشین کاری یا ذوب می‌شوند [۷ و ۸]. بسته به شرایط کاتالیزور، ساختار شبکه معدنی را می‌توان متناسب کرد. تحت شرایط اسیدی، میزان چگالش نسبت به سرعت هیدرولیز آهسته است. به طور کلی یک ساختار باز خطی تحت شرایط اسیدی حاصل می‌شود. تحت شرایط بازی نرخ چگالش بسیار سریع تر از میزان هیدرولیز می‌باشد و در نتیجه خوشه‌های اکسید فلزی سه بعدی بسیار متراکم و متعاقباً ساختار بسته تشکیل می‌شود. به کارگیری واکنش‌هایی با کاتالیزور اسیدی باعث تشکیل یک ساختار شبکه‌ای باز در مراحل اولیه واکنش به دلیل چگالش خوشه‌های کوچک می‌شود. در مقابل استفاده از کاتالیزور قلیایی منجر به ایجاد ذرات سل با اتصالات عرضی زیاد در مراحل اولیه می‌شود. این می‌تواند منجر به تفاوت در همگنی مواد هیبریدی نهایی شود. کاتالیزورهایی که به طور رایج استفاده می‌شوند، شامل HCl، NaOH یا NH<sub>4</sub>OH می‌باشند و فلوریدها نیز می‌توانند به عنوان کاتالیزورهایی استفاده شوند که منجر به واکنش سریع می‌شوند [۹]. هم اکنون روش‌های متعددی برای پوشش دادن به روش سل-ژل وجود دارد که این روش‌ها شامل فرایندهای غوطه وری، چرخشی، سیلانی، ایجاد پوشش از طریق پاشش و ایجاد پوشش به کمک نیروی موینگی می‌باشند [۱۰]. روش غوطه وری دارای متغیرهای بسیاری از جمله ویسکوزیته حمام، سرعت بیرون کشیدن قطعه، دمای قطعه و رطوبت دمای محیط می‌باشد. علی‌رغم این متغیرها و کنترل‌های مورد نیاز بسیار، روش پوشش دهی غوطه وری (dip coating) یک روش مقرون به صرفه برای تولید انبوه و پوشش دهی خودکار قطعات می‌باشد [۱۱]. سانچای و همکاران با استفاده از روش سل-ژل یک لایه سیلیسی آبریز بر روی زیر لایه شیشه ایجاد کردند این محققین نشان دادند که پوشش ایجاد شده تا یک دمای خاصی

1- Mechanical stretching  
2- laser/plasma/chemical  
3- layer by layer  
4- Sol-gel  
5- CVD

دقیقه دوباره با آب مقطر شستشو داده و در داخل خشک کن خشک نموده تا سطح لامها فعال شوند.

جدول ۱. مواد اولیه استفاده شده

کامپانی	کد محصولات	جرم مولکولی $\text{gmol}^{-1}$	فرمول شیمیایی	مواد اولیه
Merck	۸۰۰۶۵۸	۲۰۸/۳۳	$\text{C}_8\text{H}_{20}\text{O}_4\text{Si}$	تترا اتیل اورتوسیلیکات
Merck	۸۴۱۵۹۲	۲۴۰/۳۷	$\text{C}_{12}\text{H}_{20}\text{O}_3\text{Si}$	فنیل تری اتوکسی سیلان
Merck	۱۰۰۹۳۸	۴۶/۰۷	$\text{C}_2\text{H}_5\text{OH}$	اتانول
Merck	۴۸۰۹۰۵	۳۵/۰۴	$\text{NH}_4\text{OH}$	هیدروکسید آمونیوم
Merck	۱۰۰۴۴۳	۶۳/۰۱	$\text{HNO}_3$	اسید نیتریک
Merck	۱۰۰۳۱۷	۳۶/۴۶	$\text{HCl}$	اسید کلریدریک
Merck	۱۱۹۲۰۸	۲۳۱/۷۳۵	$\text{Ag}_2\text{O}$	اکسید نقره

### ۲-۳- ایجاد پوشش

پس از تهیه سل، لامهای میکرو اسلاید آزمایشگاهی که قبلاً سطحشان را فعال نموده، با استفاده از دستگاه غوطه وری به صورت عمودی وارد حمام سل کرده و با سرعت مشخص  $2 \text{ cm/min}$  و  $4/5 \text{ V}$  از محلول خارج شد این میزان سرعت طبق تنظیماتی که بر روی دستگاه صورت می گیرد انجام می شود. بدین ترتیب یک لایه سل بر روی شیشه به طور کاملاً یکنواخت می نشیند. با افزایش تعداد دفعات غوطه وری ضخامت پوشش ایجاد شده نیز افزایش می یابد. که در این تحقیق تنها یک بار غوطه وری صورت گرفته است. لام-های پوشش داده شده را یک ساعت در دمای محیط قرار داده و سپس به مدت دو ساعت در دمای  $150^\circ \text{C}$  در داخل خشک کن گذاشته تا چسبندگی خوبی بین پوشش اعمال شده و زیر لایه صورت گیرد. نمونه های خشک شده را بعد از سرد شدن از داخل خشک کن بیرون آورده و در دمای محیط قرار داده شدند. در این روش آنیل کردن توصیه نشده است. زیرا اگر دما از یک حد مشخصی بالاتر رود نمونه آبرگریزی خود را از دست داده و آبدوست می شود. مقدار مواد استفاده شده در جدول (۲) آورده شده است.

خاصیت ابرآبرگریزی دارد و از آن دما به بعد خاصیت آب دوستی پیدا می کند [۱۳و۱۲]

همچنین نادارگی و همکاران [۱۴]، به تاثیر مقدار آب اضافه شده بر روی آبرگریزی سطوح در فرایند سل - ژل پرداختند. نتایج این محققین نشان داد که با افزایش مقدار آب تا یک میزان خاصی، آبرگریزی ابتدا بهبود و پس از آن کاهش پیدا می کند.

در این پژوهش هدف ایجاد پوشش آبرگریز و مقایسه میزان ترشوندگی آن با اضافه کردن اکسید نقره به عنوان عامل آنتی باکتریال می باشد. همان طور که مشاهده شد، محققین عمدتاً از متانول با فرمول شیمیایی  $\text{CH}_3\text{OH}$  به عنوان حلال استفاده کرده اند. متانول سمی بوده و استفاده از آن خطرناک و نیازمند به دقت بالا می باشد. از این رو در این تحقیق از اتانول و ماده ی آبرگریز PTES استفاده شده است.

### ۲- نحوه آزمایش

#### ۲-۱- تهیه سل

در این تحقیق پوشش نانو ساختار سیلیس به روش سل - ژل بر روی زیر لایه شیشه ای تشکیل شد. به منظور تولید سل از تترا اتیل اورتوسیلیکات به عنوان ماده ی آلوکوکسید سیلیسی و ماده فنیل تری اتوکسی سیلان به عنوان ماده ی آبرگریز، اتانول به عنوان حلال و هیدروکسید آمونیوم به عنوان کاتالیزور استفاده شد. مواد اولیه مورد استفاده در جدول (۱) آورده شده است.

برای تهیه سل ابتدا TEOS و PTES را همراه با حلال مورد نظر (اتانول) رقیق کرده و سپس کاتالیزور را به تدریج اضافه می کنیم، در نهایت سل را به مدت ۱۷ ساعت در دمای  $75^\circ \text{C}$  درجه سلسیوس توسط مخلوط کن مغناطیسی همزده شد.

#### ۲-۲- آماده سازی سطح لامهای شیشه ای

لامهای شیشه ای در اندازه  $8 \times 170 \text{ mm}$  مورد استفاده قرار گرفت. برای آماده سازی سطح لامهای شیشه ای و تمیز نمودن از کثیفی و عاری از هر گونه آلودگی و چربی، لامها را به مدت ۱۰ دقیقه داخل محلول هیدروکسید سدیم ۲۰ درصد و سپس با آب مقطر شستشو داده و مجدداً داخل اسید نیتریک و اسید کلریدریک با مقادیر یکسان، غوطه ور کرده و بعد از ۲۰

جدول ۲. مواد مورد استفاده

مقادیر استفاده		مواد
( mol به جز اکسید نقره )		
۰/۰۱	۰/۰۱	TEOS
۰/۰۱	۰/۰۱	PTES
۰/۰۸	۰/۰۸	NH <sub>4</sub> OH
۱/۰۳	۱/۰۳	اتانول
۰/۰۲ gr	-	اکسید نقره

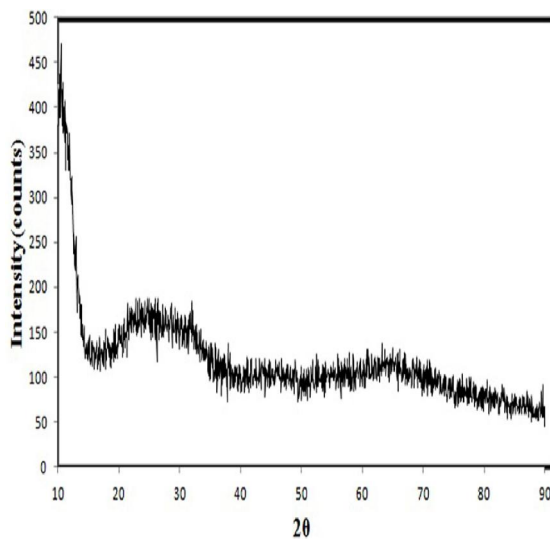
رویشی مدل LEO, 435 VP استفاده شد.

برای بررسی توپوگرافی سطح نمونه‌ها از میکروسکوپ نیروی اتمی DME-danish Micro Engineering A/S مدل Transformervej12 DK-2730 Herlev Denmark استفاده شد.

### ۳- نتایج و بحث

#### ۳-۱- آنالیز پراش اشعه ایکس

همان‌طور که در شکل (۱) مشاهده می‌شود در محدوده  $2\theta = 20-30^\circ$ ، طول موج  $\text{Cu K}\alpha_1$  ( $\lambda = 1.54051 \text{ \AA}$ ) مواد آمورف پیک حاصل از پراش‌های پراکنده حاصل می‌کنند زیرا دیگر تابع قانون براگ نیستند. پیک هلال شیشه‌ای نام دارد که مربوط به شیشه می‌باشد و بنابراین نمونه‌های پوشش داده شده با مواد سیلانی به دلیل وجود سیلیس آمورف هستند.



شکل ۱. آنالیز پراش اشعه ایکس از پوشش تهیه شده

#### ۳-۲- آنالیز طیف سنجی مادون قرمز فوریه (FTIR)

شکل (۲) نتیجه آنالیز مربوط به (الف) TEOS و (ب) نمونه پوشش داده شده با اضافه کردن ماده آگریز PTES را نشان می‌دهد.

#### ۲-۴- بررسی اثر اکسید نقره روی پوشش

از اکسید نقره ( $\text{Ag}_2\text{O}$ ) به دلیل داشتن خواص آنتی باکتریال می‌توان به عنوان پوشش بر روی شیشه‌ها استفاده کرد. که مقدار بهینه آن برای حفظ شفافیت پوشش با انجام آزمایشات مکرر مقدار  $0.02 \text{ gr}$  بود. تمام روند آزمایش در اینجا نیز مانند قسمت (۲-۱) می‌باشد با این تفاوت که در اینجا نیز اکسید نقره را به ترکیبمان اضافه می‌کنیم. اکسید نقره استفاده شده به صورت نانومتری می‌باشد.

#### ۲-۵- بررسی‌های ساختاری

در این تحقیق برای اندازه‌گیری زاویه تماس از دوربین عکاسی مدل Canon 5d mark II ساخت ژاپن استفاده شد. بدین منظور قطره آبی به حجم مشخص ( $0.02 \text{ ml}$ ) میلی‌لیتر) بر روی سطح مورد نظر قرار داده و سپس از آن عکس برداری شد.

با استفاده از طیف سنجی تبدیل فوریه مادون قرمز از دستگاه FT Infrared Spectroscopy, JASCO, FT/IR- (Japan,  $6300 (400-4000 \text{ cm}^{-1})$ ) استفاده شد که اطلاعاتی درباره‌ی پیوندهای شیمیایی مختلف مانند Si-OH و Si-C و C-H و Si-O-Si به دست آمد.

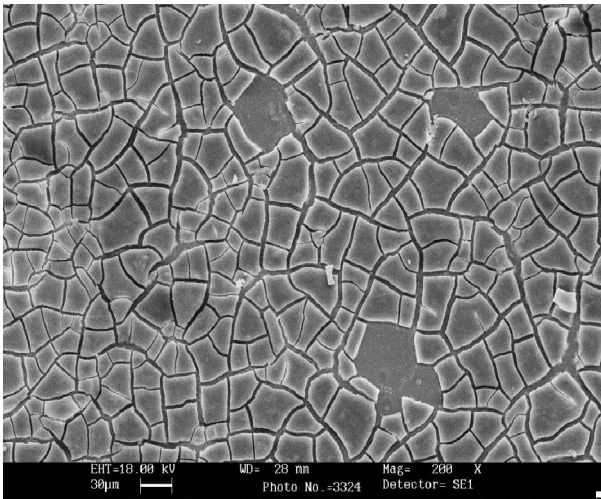
برای بررسی تشکیل فازها از دستگاه پراش اشعه ایکس (XRD) Philips مدل Xpert با ولتاژ  $40 \text{ kV}$  و جریان  $30 \text{ mA}$  میلی‌آمپر استفاده گردید. لامپ کاتدی استفاده شده از جنس مس با طول موج  $1.54059 \text{ \AA}$  آنگستروم بود. نرخ رویش  $1^\circ$  و اندازه گام  $0.05^\circ$  در  $2^\circ$  ثانیه انتخاب شد.

برای مشخصه‌یابی نمونه‌ها و بررسی مورفولوژی سطحی پوشش اعمال شده از دستگاه میکروسکوپ الکترونی

## ۳-۳- میکروسکوپ الکترونی روبشی

برای مطالعات SEM برای هر دو نمونه نسبت PTES/TEOS=1 در نظر گرفته شد که تصاویر آن در زیر آورده شده است.

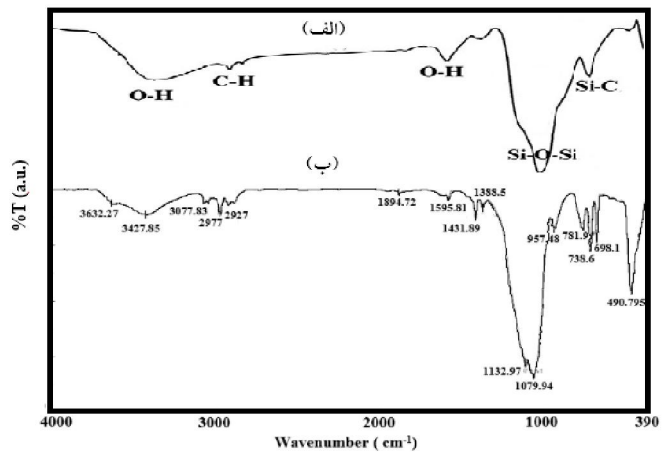
شکل (۳) تصویر SEM مربوط به نمونه پوشش داده شده بدون اضافه کردن اکسید نقره را نشان می‌دهد.



شکل ۳. تصویر SEM مربوط به نمونه پوشش داده شده بدون اضافه کردن اکسید نقره

در یکی از این موارد مقدار ۰/۰۲ گرم اکسید نقره با محلول مخلوط شد. که اثر چشمگیری بر توزیع و مقدار ترک-ها نشان داد که در شکل (۴) دیده می‌شود. در این نمونه ترک-ها اطراف کامل ذرات را احاطه نکردند و تا حدودی پیوستگی در زمینه دیده می‌شود. این موضوع می‌تواند به خاطر اثر اکسید نقره در تغییر انرژی سطحی ذرات باشد که با افزایش انرژی سطحی عمل پیوند یافتن ذرات به یکدیگر زیادتر شده و ترک‌ها احاطه‌ای کامل به اطراف ذره‌ها پیدا نکرده‌اند.

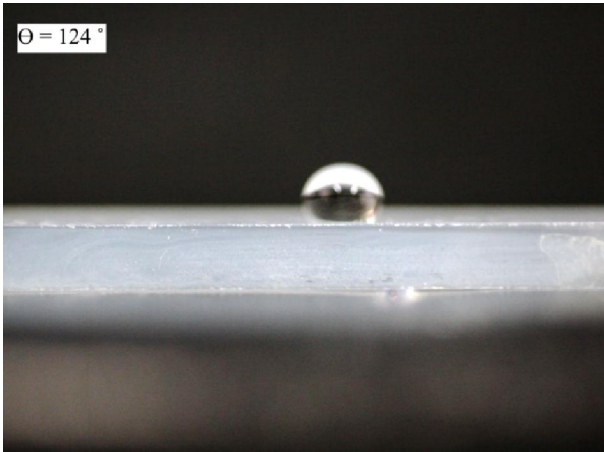
نتیجه کلی چنین حاصل شد این ترک‌های ریز که به خاطر انقباض یکنواخت در هر ذره صورت می‌گیرد این خاصیت را دارد که زبری سطح به وجود می‌آورد. درون این فضاهای خالی هوا وارد می‌شود. وقتی آب را بر سطح شیشه‌ای روکش داده شده می‌ریزم این نواحی با ارائه‌ی هوا بین سطح شیشه و آب مانع از اتصال آن‌ها می‌شود. حاصل آن است که ترشوندگی کاهش می‌یابد و حباب‌های هوا مانع از ترشوندگی آب و شیشه خواهند شد. می‌توان گفت که با کج نگه داشتن شیشه زاویه لغزش کاهش می‌یابد زیرا آب به شیشه



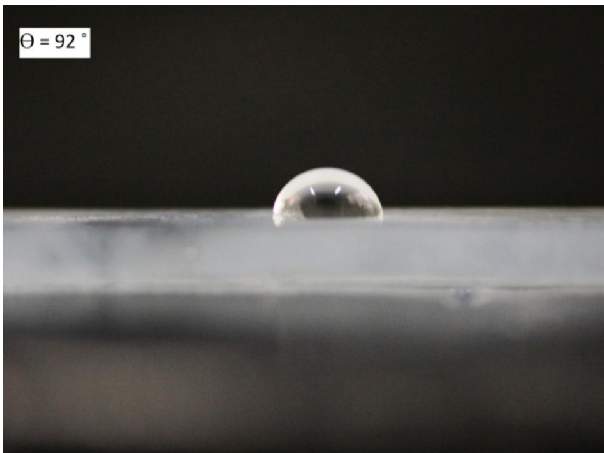
شکل ۲. آنالیز FTIR (الف) TEOS و (ب) نمونه پوشش داده شده با PTES

در الگوی FT-IR مربوط به پوشش سیلیسی نمونه پوشش داده شده با ماده آبریز PTES پیک‌های موجود در محدوده  $1079\text{ cm}^{-1}$  مربوط به کشش ارتعاشی نامتقارن Si-O-Si است. وجود این پیک‌ها وجود یک ساختار شبکه‌ای را در درون نمونه تایید می‌کند. باندهای جذبی در محدوده  $2977\text{ cm}^{-1}$  و  $1431\text{ cm}^{-1}$  ناشی از کشش و خمش در پیوندهای C-H و پیک‌های مشاهده شده در  $738\text{ cm}^{-1}$  مربوط به پیوندهای Si-C هستند. پیک‌های مربوط به ناحیه  $1595\text{ cm}^{-1}$  و همچنین پیک وسیع موجود در  $3427\text{ cm}^{-1}$  مربوط به پیوندهای O-H هستند که با افزودن ماده آبریز سیلانی PTES شدت این پیک‌ها کاهش می‌یابد. همچنین افزایش شدت پیک‌های مربوط به C-H و Si-C، با افزودن ماده PTES، نشان دهنده جایگزین شدن H مربوط به گروه‌های Si-OH با گروه‌های هیدرولیز نشدنی  $\text{Si}-(\text{CH}_3)_3$  است که نتیجه آبریزی بیشتر است. همانطور که در شکل (ب) مشاهده می‌شود، در ناحیه  $3427\text{ cm}^{-1}$  ارتفاع پیک نسبت به شکل (الف) کم است که این نشانه مقدار کمتر گروه O-H در ساختار محصول است. در نتایج دیگر محققین اطلاعات مربوط به پیوندهای نمونه نیز بیان شده است [۱۶ و ۱۵]. از ناحیه  $900\text{ cm}^{-1}$  به پایین، به ناحیه Finger Print معروف بوده و فقط برای بررسی ترکیبات مجهول کاربرد دارد.

تحقیقات محققین دیگر حاکی بر همین دلیل می باشد [۱۷ و ۱۵].



شکل ۵. تصویر مربوط به لام پوشش داده شده بدون افزودن اکسید نقره



شکل ۶. تصویر مربوط به لام پوشش داده شده با افزودن اکسید نقره

### ۳-۵- میکروسکوپ نیروی اتمی

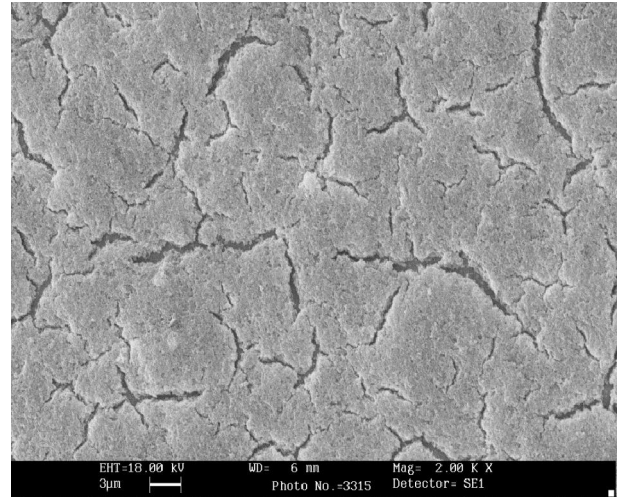
آبگریزی نه تنها به ترکیب شیمیایی بلکه به توپوگرافی سطح نیز بستگی دارد. یکی از پارامترهای مهم برای بررسی زبری سطح مقدار RMS<sup>۱</sup> است. بیشتر بودن این پارامتر نشان دهنده میزان زبری بیشتر سطح آن ها نسبت به نمونه بدون پوشش است [۱۸].

این نکته نیز قابل ذکر است که مقدار RMS با استفاده از فرمول زیر به دست می‌آید:

$$RMS = \sqrt{\frac{1}{N} \sum_{j=1}^N \eta_j^2}$$

<sup>۱</sup> - Root mean square

نچسبیده بلکه بر حباب‌های هوا سوار شده است. با کاهش زاویه لغزش پدیده‌ی خود تمیزشوندگی در سطح شیشه ایجاد می‌شود.



شکل ۴. تصویر SEM مربوط به اضافه کردن اکسید نقره

### ۳-۴- اندازه گیری زاویه تماس

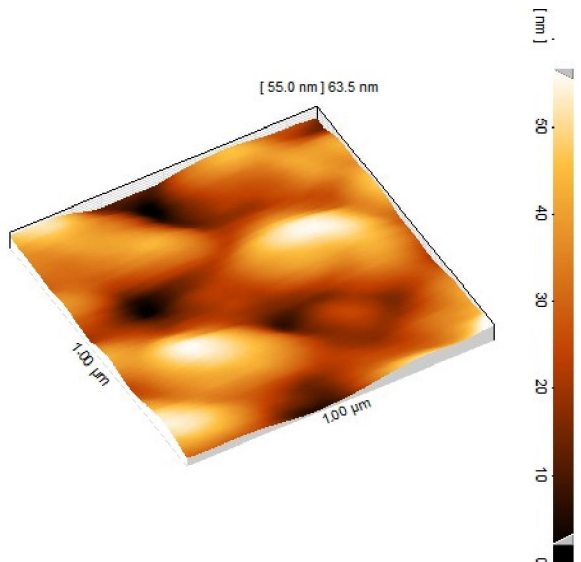
نتایج نشان می‌دهد زاویه تماس برای نمونه‌ی پوشش داده شده بدون اکسید نقره برابر ۱۲۴ درجه و برای نمونه‌ی پوشش داده شده با اکسید نقره ۹۲ درجه می‌باشد. که اطلاعات مربوط به نمونه‌ها در جدول (۳) آورده شده است.

جدول ۳. مربوط به زاویه تماس نمونه‌های پوشش داده شده

نمونه	زاویه تماس $\theta$
نمونه پوشش داده شده بدون اکسید نقره	۱۲۴ درجه
نمونه پوشش داده شده با افزودن اکسید نقره	۹۲ درجه

شکل (۵) زاویه تماس اندازه گیری شده برای نمونه پوشش داده شده بدون اضافه کردن اکسید نقره و شکل (۶) نمونه پوشش داده شده را با اضافه کردن اکسید نقره با نسبت PTES/TEOS=1 را نشان می‌دهد.

از نظر آبگریزی، با افزودن اکسید نقره به پوشش میزان ترشوندگی افزایش و آبگریزی کاهش می‌یابد. دلیل این امر را می‌توان به جایگزینی کمتر گروه‌های هیدروکسیل توسط گروه‌های O-Si-(CH<sub>3</sub>)<sub>3</sub> نسبت داد. نتایج گزارش شده از



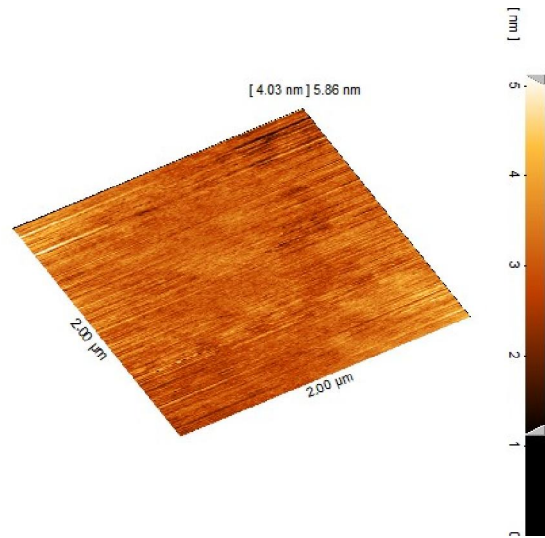
شکل (۹). تصویر سه بعدی لام پوشش داده شده با افزودن اکسید نقره

با توجه به زبری که دستگاه تعیین کرده است RMS برای نمونه بدون پوشش برابر با ۴۸۰ پیکومتر و برای نمونه بدون اکسید نقره برابر ۸۹ nm و برای نمونه با اضافه کردن اکسید نقره ۵۶/۵ nm می باشد. دلیل این امر را می توان بدین صورت توضیح داد که وجود همین اختلاف ارتفاع قله ها و پایه ها دلیلی برای آبریزی می باشد. با این استدلال که وقتی که قطره ای آب بر روی نمونه ریخته می شود به دلیل پستی، بلندی ها باعث می شود تا هوا درون قطره حبس شود و آب در داخل پستی ها فرو نرود و قطره آب بر روی سطح بیشتر جمع می شود تا اینکه پخش گردد.

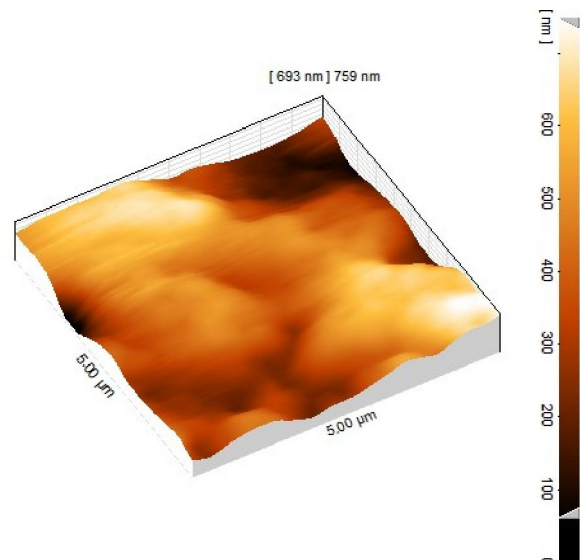
با توجه به توپوگرافی های مشاهده شده توسط تصاویر AFM و وجود حفراتی که می تواند هوا را در خود ذخیره کند می توان گفت که آمیخته ای از مدل ونزل و مدل کاسی-باکستر در این مطالعه وجود دارد. حفرات با چشم عادی از زیر قطره روی شیشه شفاف قابل مشاهده نیستند و چسبندگی بخشی از آب به شیشه مشهود است که تئوری ونزل را تقویت می کند. از طرفی وجود حفرات مشاهده شده در AFM، تقویت کننده حضور هوا و مدل ارائه شده کاسی-باکستر است.

همچنین با استفاده از میکروسکوپ نیروی اتمی ضخامت نمونه گرفته شد که این ضخامت که از طریق خود دستگاه به دست می آید تقریباً برابر با ۵۰۰ نانومتر می باشد.

تصاویر سه بعدی گرفته شده از لام بدون پوشش (شکل ۷) و لام پوشش داده شده بدون اضافه کردن اکسید نقره (شکل ۸) و نیز لام پوشش داده شده با اکسید نقره (شکل ۹) در زیر آورده شده است.



شکل ۷. تصویر سه بعدی مربوط به لام بدون پوشش



شکل ۸. تصویر سه بعدی لام پوشش داده شده بدون افزودن اکسید نقره

## ۴- نتیجه گیری

در این پژوهش هدف اصلی، ایجاد پوشش آبگریز و تاثیر مواد مختلف مانند اکسید نقره بر روی میزان ترشوندگی می باشد. که با روش ساده غوطه وری با فرایند سل-ژل پوشش های سیلیسی آب گریز بر روی شیشه تهیه شدند. فیلم‌های سیلیسی تهیه شده با بالاترین زاویه تماس ۱۲۴ درجه، افزایش در شدت پیک‌های Si-C و C-H و کاهش در شدت پیک‌های O-H را نشان دادند. با توجه به آنالیز به دست آمده مشاهده شد که زاویه تماس در نمونه پوشش داده شده بدون اکسید نقره بیشتری می باشد در نتیجه آب گریزی بیشتر و ترشوندگی کمتری را نشان می دهد. هر چه اندازه دانه اکسید نقره استفاده شده ریزتر باشد در افزایش آب گریزی به دلیل تغییر در انرژی سطحی موثرتر است. با کنترل زبری سطح و کاهش انرژی سطحی و در نتیجه پوشش دهی امکان دست یافتن به پوشش‌های آبگریز می باشد که دارای خواص ترشوندگی مناسب نیز هستند. این پوشش‌ها می توانند برای پوشش شیشه‌های خود تمیز شونده در اتومبیل-ها و یا ساختمان‌های بلند که تمیز نمودن شیشه‌ها مشکل می باشد، استفاده شوند و نیز در این تحقیق سعی شد تا با افزودن اکسید نقره، پوششی بر روی شیشه با ترکیبی از خاصیت آبگریزی و آنتی باکتریال بدست آید که موارد کاربرد آن در بیمارستان‌ها، مراکز بهداشتی و ظروف آزمایشگاهی و... می باشد.

## ۵- مراجع

۱۰. م. زبرجد، "مقدمه ای بر مواد پیشرفته" چاپ اول، انتشارات دانشگاه فردوسی مشهد، ۱۳۸۹.
11. J. Licari, coating materials for electronic application, Noyes publication, norwich, newyork, USA, 2003.
12. S.S. Latthe, S.L. Dhre, C. Kappenstein, H. Imai, V. Ganesan, A. Venkateswara Rao, "Sliding behavior of water drops on sol-gel derived hydrophobic silica films", Applied Surface Science. 256 (2010) 3259-3264.
13. N.J. Shirtcliffe, G. McHale, M.I. Newton, C.C. Perry, P. Roach, "Superhydrophobic to superhydrophilic transitions of sol-gel films for temperature, alcohol or surfactant measurement", Materials Chemistry and Physics. 103 (2007) 112-117.
14. D.Y. Nadargi, J.L. Gurav, N.E. Hawi, A. Venkateswara Rao, M. Koebel, "Synthesis and characterization of transparent hydrophobic silica thin films by single step sol-gel process and dip coating", Journal of Alloys and Compounds. 496 (2010) 436-441.
15. S.S. Latthe, H. Imai, V. Ganesan, A. Venkateswara Rao, "Superhydrophobic silica films by sol-gel co-precursor method", Applied Surface Science. 256 (2009) 217-222.
16. V. Rao, S. S. Latthe, Ch. Kappenstein, "Wetting behavior of high energy electron irradiated porous superhydrophobic silica films", Applied Surface Science. 257 (2011) 3027-3032.
17. A. Venkateswara Rao, S.S. Latthe, D.Y. Nadargi, H. Hirashima, V. Ganesan, "Preparation of MTMS based transparent superhydrophobic silica films by sol-gel method", Journal of Colloid and Interface Science. 332 (2009) 484-490.
18. A. Parvathy Rao, A. Venkateswara Rao, G.M. Pajonk, "Hydrophobic and physical properties of the ambient pressure dried silica aerogels with sodium silicate precursor using various surface modification agents", Applied Surface Science. 253 (2007) 6032-6040.
1. B. S. Hong, J. H. Han, S. T. Kim, Y. J. Cho, M. S. Park, T. Dolukhany, C. Sung, "Endurable water-repellent glass for automobiles", Thin Solid Films 351 (1999) 274-278.
۲. م. مولا پناه، "معادلات ترشوندگی در سطوح آب گریز"، دانشگاه سیستان و بلوچستان، ستاد ویژه فناوری نانو، ۱۳۹۰.
3. S. Sakka, "Hand book of sol-gel science and technology processing characterization and applications", Hiromitsu Kozuka, Kluwer, Academic Publishers.
4. P. F. Rios, H. Dodiuk, S. Kenig, S. McCarth2 and A. Dotan, "Durable ultra-hydrophobic surfaces for self-cleaning applications", POLYMERS FOR ADVANCED TECHNOLOGIES. 19 (2008) 1684-1691.
5. P. J. Roach, N. Shirtcliffe, M. I. Newton, "Progress in superhydrophobic surface development", Journal of Soft Matter. 4 (2008) 224-240.
6. M. Minglin, M. Randa, "Superhydrophobic surfaces", Current Opinion in Colloid & Interface Science. 11 (2006) 193-202.
7. P. Boch, J. claud, "ceramic materials", Hermès Science Publications (2001).
8. F. Cardarelli, "Materials handbook", 2nd edition, springer, newyork, 2005.
9. G. Kickelbick, Hybrid Materials, WILEY-VCH, Weinheim, 2007.